

黄曲霉毒素高污染区 肝细胞癌 P53 基因高频率定点突变*

High Frequency of P53 Gene Fixed Point Mutation in Hepatocellular Carcinoma from AFB1 High Risk Area

马 韵 邓卓霖 罗 虹 丁志敏
Ma Yun Deng Zhuolin Luo Hong Ding Zhimin

(广西医科大学病理学教研室 南宁市滨湖路 6 号 530021)

(Dept. of Pathology, Guangxi Medical Univ., 6 Binhu Road, Nanning, Guangxi, 530021)

摘要 用聚合酶链反应及限制性片段长度多态性 (PCR-RFLP) 分析技术, 对广西黄曲霉毒素高污染区 52 例肝细胞癌 (HCC) 进行分析, 检查 P53 基因第 7 外显子的 249 密码子的突变频率。结果发现 36/52 例 HCC 中 249 密码子有集中的点突变, 频率为 69.2%。P53 基因突变热点与乙型肝炎病毒感染无关。提示黄曲霉毒素 B1 是突变热点的主要原因。

关键词 肝细胞癌 P53 基因 突变热点 乙型肝炎病毒 黄曲霉毒素 B1

Abstract Fifty two cases of hepatocellular carcinoma (HCC) from high aflatoxin B1 (AFB1) contaminated area in Guangxi were studied by polymerase chain reaction and restrictive fragment length polymorphism (PCR-RFLP) analysis to examine the exon 7 of P53 gene in HCC. Mutation points were mostly clustered at codon 249 to form a mutational hot-spot. The frequency was 36/52 (69.2%). It seems that there has no relation to hepatitis B virus infection. The result indicates that AFB1 is the most important agent for the specific mutation at hot-spot in the P53 gene of human hepatocellular carcinoma.

Key words hepatocellular carcinoma, P53 gene, mutational hot-spot, hepatitis B virus, aflatoxin B1

P53 基因异常在人类肿瘤中是相当普遍的现象, 但极少出现定点突变。1991 年 Hsu^[1] 及 Bressac^[2] 分别报道在江苏启东及南部非洲的肝细胞癌 (HCC) 中, P53 基因第 7 外显子 (exon7) 的第 249 密码子 (codon 249) 突变, 突变率达 50%。桂西南地区属黄曲霉毒素 (AFB1) 高污染区及乙型肝炎病毒 (HBV) 高感染区, 与具有相似发病背景的南部非洲及江苏启东两地一样, 同属 HCC 最高发区。我们已经发现此地 HCC 中 P53 蛋白异常表达占 68.8%, 并在小样本 DNA 直接测序中发现 6 例 codon 249 第 3 核苷酸 G→T 颠换^[3]。本文用 PCR-RFLP 分析技术, 对 52 例 HCC 癌组织进行检测, 以观察在 P53 基因的 codon 249 上突变的频率, 并与癌旁肝组织中乙型肝

炎表面抗原 (HBsAg) 检测结果进行对比分析, 探讨 AFB1 及 HBV 与本地区 HCC 发生的关系。

1 材料与方法

52 例 HCC 来自桂西南以扶绥为中心的邻近县市, 均为外科手术后病理存档材料。组织经常规福尔马林固定, 石蜡包埋。其中男性 40 例, 女性 12 例, 平均发病年龄 44 岁。

43 例有癌旁肝的病例用单克隆抗 HBsAg 抗体 (MAB-0234) 及 S-P 试剂盒 (均购自福州迈新生物制品公司), 按试剂盒说明用 S-P 法检测癌旁肝中的 HBsAg。

另取 HCC 组织蜡块, 切 4 μm 薄片, 置 EP 管内, 经二甲苯、酒精脱蜡、干燥后, 用蛋白酶 K 消化。完全消化后的组织离心取上清液用于 PCR 扩增。PCR 反应在 BIO-RAD 公司的基因扩增仪中进行。预期扩

1996-06-10 收稿。

* 国家自然科学基金资助课题。

增 exon 7 片段长度为 138 bp。引物设置、反应条件参考文献 [4]。每一反应管总容积为 50 μ L, 内含 1 对引物各 10 pmol, 2U Taq 酶 (华美公司产品) 等。扩增产物用限制性内切酶 Hae III 消化 (10 μ L/10 U, 37°C 过夜) 后, 在 15% 聚丙烯酰胺凝胶中垂直电泳, 溴化乙锭染色, 紫外灯下观察及照相。野生型 P53 基因 codon 249~250 间的核苷酸序列 GGCC 中间是 Hae III 的酶切位点, 可被切成长度为 87 及 51 bp 的两个片段。当 codon 249 第 2 或第 3 位核苷酸异常时, 则导致酶切位点丢失, 仅能观察到 138 bp 的一个片段 (图 1)。

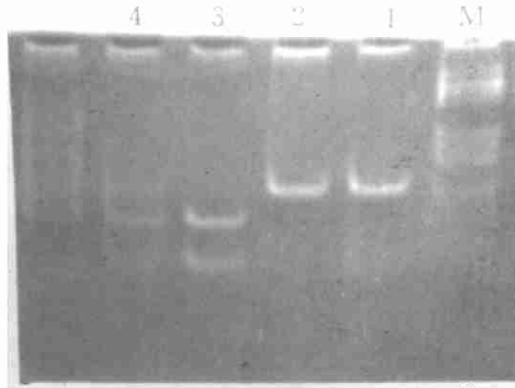


图 1 exon 7 扩增产物经 Hae III 酶切后电泳结果

Fig. 1 Electropherogram show the results of the exon 7 amplification products digested by Hae III

由右→左 From right to left: M; PBR322-Hae III DNA 分子量标准 PBR322-Hae III DNA standard molecular weight; 1, 2: codon 249 突变 Codon 249 mutation. PCR 产物不能被 Hae III 切开, 为 138 bp 的一条泳带 PCR product was showed as 138 bp, which was not digested by Hae III; 3: codon 249 正常 Normal codon 249. PCR 产物被切成 87+51 bp 两个片段 PCR product was showed as 87+51 bp by Hae III digestion; 4: 癌组织中有较多正常组织, PCR 产物同时含野生型及突变型 codon 249, 经 Hae III 酶切后可见 138, 87, 51 bp 三条泳带. More normal tissue was seen in the HCC tissue. PCR product contained wild-type and mutation of codon 249, and was showed as 138, 87, 51 bp by Hae III digestion.

表 1 不同 HBV 感染状况下 HCC P53 基因 codon 249 突变频率

Table 1 The frequency of P53 gene codon 249 mutation in HCC under various HBV infectious states

HBsAg	例数 No. cases	HCC codon 249 突变数 No. Mutational cases	突变率 Frequency of mutation (%)
阳性 Positive	35	23	65.71
阴性 Negative	8	7	87.50

2 结果

36/52 例 HCC 中有 P53 基因 codon 249 突变, 突变率为 69.2%。35/43 例癌旁肝组织中 HBsAg 阳性, 占 81.4%。P53 基因 codon 249 的突变率与 HBV 感染状况无关 ($P > 0.05$), 见表 1。

3 讨论

启东及莫桑比克地区先发现 HCC P53 基因中有突变热点的存在, 在基因研究中具有重要意义, 突变热点的出现被认为是与 AFB1 及 HBV 有关。随后世界各地的学者纷纷进行类似的研究, 所采取的标本均来自 AFB1 低污染区, 如日本、台湾、香港、澳大利亚及中国北方等地, 无论当地 HBV 感染率高低, 均未发现 exon 7 有集中的突变热点存在^[5~9]。反证了 AFB1 与 codon 249 突变之间的关系。

桂西南地区 HCC 的发病背景与启东及莫桑比克类似, 本文发现在 HCC 组织中 P53 基因 codon 249 上同样存在着突变热点, 突变频率与上述两地相近, 而明显高于 AFB1 低污染区。在三个具有不同自然环境的地区中发现 HCC P53 基因同一密码区突变, 结合动物实验的结论^[10], 足以证明 AFB1 确是引起 P53 基因 codon 249 突变的祸首, 揭开 AFB1 致肝癌的分子机密。

在 HBsAg 阳性及阴性的病例中, HCC codon 249 的突变频率无差别, 表明 AFB1 可单独引起本地 HCC 的基因改变。大量的研究已经充分表明 HBV-DNA 可随机地整合到人基因组 DNA 中^[11], 但不能引起 P53 基因特异性突变热点^[5~9]。由于一条 P53 等位基因的突变, 常需伴另一条等位基因的缺失或突变, 才易导致基因表达失常, 致使 P53 蛋白丧失肿瘤抑制作用。因此, HBV 感染作为本地区 HCC 发生的高危因素, 在分子水平上可能是通过引起 P53 基因等位基因的点突变或缺失等异常改变, 与 AFB1 协同促进 HCC 的发生。有关这方面的工作尚待进一步研究。

致谢

本研究得到广西医科大学血红蛋白室谢建生、林伟雄两位同志的热情协助, 特此致谢!

参考文献

- 1 Hsu IC, Metcalf RA, Sun T et al.. Mutational hot-spot in the P53 gene in human hepatocellular carcinomas. Nature, 1991, 350: 427.
- 2 Bressac B, Kew M, Wands J et al.. Selective G→T muta-

- tion of P53 gene in hepatocellular carcinoma from southern Africa. Nature, 1991, 350: 430.
- 3 邓卓霖, 潘朗星, 马 韵等. 肝细胞性肝癌 P53 基因多态性定点突变. 广西科学, 1995 年, 2 (4): 59.
- 4 Murakami Y, Hayashi K, Sekiya T. Detection of aberrations of the P53 alleles and the gene transcript in human tumor cell lines by singlestrand conformation polymorphism analysis. Cancer Res, 1991, 51: 3356.
- 5 Teramoto T, Satonaka K, Kitajawa S et al.. P53 gene abnormalities are closely related to hepatoviral infections and occur at a late stage of hepatocarcinogenesis. Cancer Res, 1994, 54: 231.
- 6 Sheu J C, Huang G C, Lee P H et al.. Mutation of P53 gene in hepaticellular carcinoma in Taiwan. Cancer Res, 1992, 52: 6098.
- 7 Gopesh IOL, Chung LP. Overexpression and point mutations of P53 tumor suppressor gene in hepatocellular carcinomas in Hong Kong Chinese people. Cancer, 1994, 74: 30.
- 8 Hayward NK, Walker GJ, Graharm W et al.. Hepatocellular carcinoma mutation. Nature, 1991, 352: 764.
- 9 朱明华, 王文亮. 肿瘤抑制基因 P53 突变与原发性肝癌的关系. 中华肿瘤杂志, 1993, 15 (4): 245.
- 10 Wogan G N. Aflatoxins as risk factors for hepatocellular carcinoma in humans. Cancer Res, 1992, 52 (suppl): 2114-8.
- 11 Bressac B, Galvin K M, Liang J J et al.. Abnormal structure and expression of P53 gene in human hepatocellular carcinoma. Proc Natl Acad Sci, USA, 1990, 87: 1973.

(责任编辑: 邓大玉 蒋汉明)

(上接第 44 页 Continue from page 44)

之本文的实验操作技术日臻成熟, 其结果更优。这不但再次确证了 LDH_b 和变异型酶谱的存在^[1,2,3], 与青山羊精子一样, 水牛血清 LDH 同工酶可能存在第 3 个基因位点^[8], 因 LDH_x 与本文 LDH_b 的位置不同, 故此位点与前者可能不同。

致谢

本文经杨传任教授审阅, 并得到胡曦璇老师的热忱帮助, 谨表谢意!

参考文献

- 1 栾桂龙, 欧阳柱, 庞廷英. 四种水牛血清 LDH 同工酶谱型的分析研究. 广西农学院学报, 1989, 8 (4): 61~65.
- 2 栾桂龙, 韦莉莉, 蒋艳明. 三种奶水牛品种血清乳酸脱氢酶研究. 西南农业学报, 1995, 8 (3): 89~94.
- 3 武 彬, 秦川. 晋南和南阳黄牛血清乳酸脱氢酶同工酶谱型的初步研究. 畜牧兽医学报, 1988, 19 (1): 18~22.
- 4 周宗汉, 林金榜. 血清 LDH 同工酶圆盘电泳法在鱼类分类中的应用. 动物学杂志, 1983, (5): 33~35.
- 5 Gerald P C. LDH Isoenzymes Standard Methods of Clinical Chemistry, 1972, (7): 49~61.
- 6 余桂馨, 陈守筠. 家畜遗传标记研究. 成都: 西南民族学院出版社, 1989, 31~38, 39~117.
- 7 欧阳柱, 栾桂龙, 庞廷英. 尼罗罗非鱼、莫桑比克罗非鱼和福寿鱼中某些组织 LDH 及其同工酶的研究. 广西农学院学报, 1988, 7 (3): 51~57.
- 8 张庆朝, 陈鑫磊, 杨景芝等. 青山羊精子中乳酸脱氢酶同工酶的研究. 畜牧兽医学报, 1995, 26 (6): 496~499.

(责任编辑: 蒋汉明 邓大玉)